

Nd_{1-2x}Ca_xM_xBa₂Cu₃O_{7-δ}(M=Pr, Th)

قریانی، شعبان رضا^۱; و رب، اوستن^۲

^۱ گروه فیزیک، دانشگاه تربیت معلم سبزوار؛ سبزوار؛ صندوق پستی ۳۹۷

^۲Solid State Physics, IMIT, KTH , SE-164 40 Kista, Electrum 229, Stockholm, Sweden

چکیده

خواص تراپردازی نمونه های (M=Pr, Th) در حالت عادی باندازه گیری اثرهال مطالعه شدند. ضریب هال در دمای بالا تقریباً برای Ca-Pr ثابت است در حالیکه یک افزایش شدیدی برای آلایینه Ca-Th وجود دارد. این تغییرات یک کاهش تمرکز بار برای Ca-Th ولی ثابت برای Ca-Pr پیشنهاد می کند.

The normal State Hall effect in Nd_{1-2x}Ca_xM_xBa₂Cu₃O_{7-δ} (M=Pr, Th) Superconductors

Ghorbani S.R.¹; Rapp Ö.²

¹ Department of Physics, Sabzevar Teacher Training University, P.O. Box 397, Sabzevar, Iran,

² Solid State Physics, IMIT, KTH Electrum 229, SE-164 40 Kista, Stockholm, Sweden.

Abstract

The transport properties of sintered samples Nd_{1-2x}Ca_xM_xBa₂Cu₃O_{7-δ} (M=Pr, Th) with 0≤x≤0.10 have been studied in the normal state by Hall effect measurements. The Hall coefficient at high temperature was almost constant for Ca-Pr while it increases with increasing Ca-Th doping concentration. These changes suggested a decreasing charge concentration for Ca-Th and a constant charge concentration for Ca-Pr.

PACS No. 74.72.Jt; 74.25.Fy; 74.62.Dh

تمرکز حفره ها ثابت نگه داشته می شود. بعبارت دیگر حفره های

اضافه شده توسط Ca بوسیله الکترونهای Pr و Th در تمرکز های آلایش پایین جبران می شوند. در این حالت تغییرات سهمی دمای بحرانی T_c با تمرکز حفره فرونشانده می شود و T_c بطور خطی با تمرکز آلایش کاهش می یابد [۳, ۴].

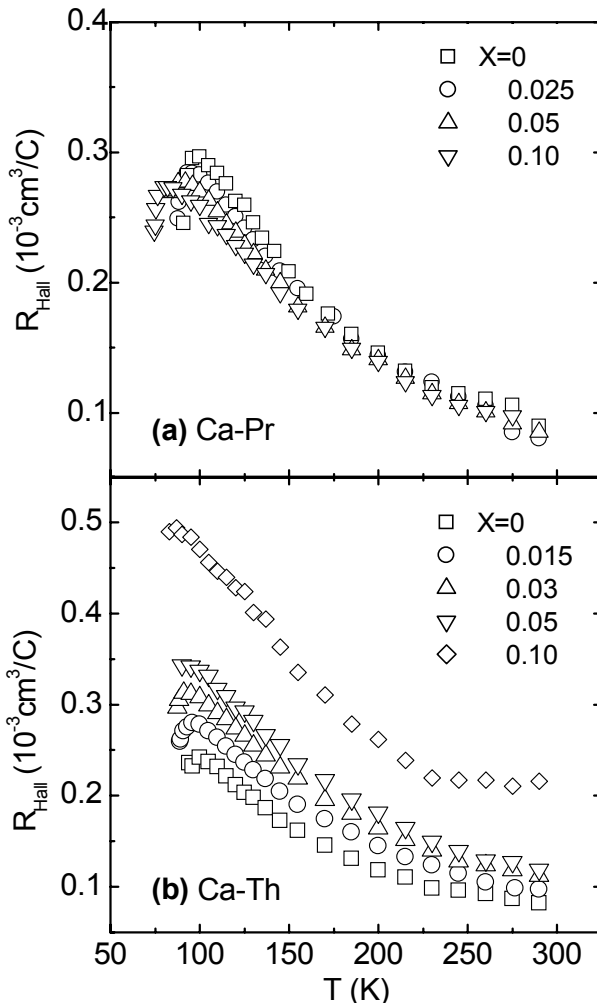
پراش نوترون این ترکیبات نشان داد که تغییر ساختار، پارامترهای شبکه و طول پیوندها کوچک هستند. با این حال تفاوت های مشخصی در روند تغییرات بعضی باند والانس سامها (BVS) [۲, ۴] و آهنگهای واهلش میون [۵] بصورت تابعی از تمرکز این آلاینده ها وجود دارند. علاوه بر این مطالعه مقاومت ویژه الکتریکی ρ [۶] و توان گرما الکتریسته S [۷] دو نوع موضعی شدن متفاوت را برای این دوسری نمونه پیشنهاد می کند.

مقدمه

خواص فیزیکی حالت عادی ابرسانه های با دمای بحرانی بالا (HTSC) در مقایسه با فلزات معمولی غیر متعارف هستند [۱]. تحقیقات زیادی روی خواص حالت عادی و ابرسانایی سیستم RE - RE هاعناصر خاکی هستند) جهت روشن شدن مکانیزم های از بین برنده ابرسانایی انجام گرفته است. این تحقیقات نشان داده که خواص حالت عادی قویاً در تضاد با تئوری مایع فرمی [۲] هستند و وابستگی های پیچیده ای را به دما، آلایش و بی نظمی ها نشان می دهند.

ترکیبات RE_{1-2x}Ca_xM_xBa₂Cu₃O_{7-δ} با (M=Pr, Th) و مقدار اکسیژن ثابت نمونه های جذابی هستند. چون آلاینده های Ca-Th و Ca-Pr از نظر الکتریکی خشی هستند بنابراین

۱۰۰ K با افزایش تمرکز Ca-Pr اندکی کاهش می یابد. از سوی دیگر برای Nd-123 آلاییده با Ca-Th، R_H با افزایش آلایش در تمام محدوده دمایی از T_c تا تمامی اتفاق افزایش می یابد.



شکل ۱. وابستگی دمایی ضریب هال R_H برای $Nd_{1-x}Ca_xM_xBa_2Cu_3O_{7-\delta}$ (a) $M=Pr$ (b) $M=Th$

نسبت نسبتی $\frac{R_H(275K)}{R_H(275K)}$ در سری اس ای دارد طوریکه این آهنگ در سری Ca-Th زیادتر از سری Ca-Pr است [۷]. تفاوت جالب دیگر برای هردو سری در R_H در دمای $275K$ است. این وابستگی برای هر دو سری نمونه در شکل ۲ مقایسه شده است. $R_H(275K)$ برای آلاینده Ca-Pr تقریباً ثابت است. در حالیکه برای آلاینده Ca-Th افزایش R_H مشاهده می شود. این نشان می دهد که تمرکز بار شدیدی مشاهده می شود. این نشان می دهد که تمرکز بار الکتریکی (حفره ها) با افزایش Ca-Th کاهش می یابد ولی برای

اندازه گیری و تست نمونه ها

نمونه ها با ترکیب $Nd_{1-2x}Ca_xM_xBa_2Cu_3O_{7-\delta}$ با M برابر $x=0$ به روش فرآیند پودر حالت جامد تهیه شدند که جزئیات آن در مرجع [۷] شرح داده شده است. نمونه ها در اتمسفر اکسیژن در دمای $460^{\circ}C$ بمدت ۳ روز باز پخت شدند. وسیس با آهنگ $12^{\circ}C/hr$ تا دمای اتفاق سرد شدند.

پراش به روش پودراشعه X و نوترون نشان داد که تمام نمونه های آلایش شده بجز نمونه $x=0.10$ سری Ca-Th دارای ساختار تک فاز اورتورومیک هستند. این نشان می دهد که خالیت جامد $x=0.10$ اندکی زیر Ca-Th است.

ولتاژ هال V_H با تکنیک چهار پروب استاندارد با دو الکترود اضافی جهت اندازه گیری V_H و روشن جاروب کردن میدان مغناطیسی اندازه گیری شدند. سیمهای الکتریکی با چسب نقره به نمونه ها متصل و در دمای $300^{\circ}C$ داخل اتمسفر اکسیژن بمدت ۱-۲ ساعت باز پخت شدند. با این روش مقاومتی در حدود 2Ω برای اتصال بدست می آید. برای اندازه گیری ولتاژ هال از نمونه هایی با ابعاد $6 \times 2.5 \times 0.5 mm^3$ استفاده شد. تمام نمونه ها در دمای بالای دمای بحرانی T_c و میدانهای مغناطیسی B تا $8T$ تابعی خطی از B بودند. ضریب هال R_H از روی شب این رابطه در هر دمایی تعیین شد.

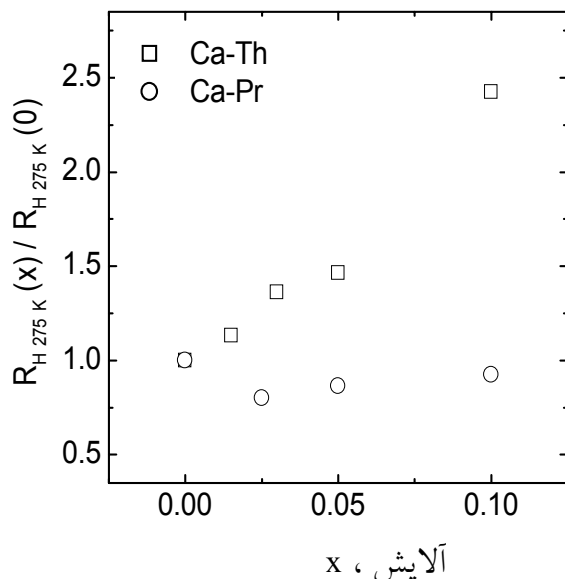
دراین کار بمنظور درک بیشتری از خواص آلاینده های Ca-Pr و Ca-Th و ضریب هال در حالت عادی بصورت تابعی از دما و تغییر میدان مغناطیسی در بازه $0 \leq B \leq 8T$ در هر دمای ثابت اندازه گیری می شود.

نتایج و تحلیل داده ها

شکل ۱ R_H را به صورت تابعی از دما و تمرکز آلایش Ca-Pr و Ca-Th نشان می دهد. در حالت عادی برای تمام نمونه های هردو سری مثبت است و با افزایش دما افزایش یافته به مقدار ماکزیممی در دمای نزدیک $100K$ می رسد و بعد از آن شدیداً کاهش می یابد. وابستگی دمایی R_H در دمای های پایین قویتر از دمای های بالا است. در سری $Nd_{1-2x}Ca_xPr_xBa_2Cu_3O_{7-\delta}$ در دمای های بالا R_H با تغییر x ثابت است در حالیکه قله آن در دمای

- Wäppling R., Physica C 338 (2000) 263.
[6]- Lundqvist B., Lundqvist P., Rapp Ö., Phys. Rev. B 57 (1998) 14428.
[7]- Ghorbani S.R., Andersson M., Rapp Ö., Phys. Rev. B 66 (2002) 104519

آلایش Ca-Pr ثابت است. این نشان می دهد که ظرفیت Pr در این تمرکز آلایش پایین +۴ است چون در غیر این صورت تاثیر بار اضافه شده توسط Ca بیشتر از Pr می باشد و R_H بایستی کاهش یابد. این نتایج نشان می دهند که اضافه کردن آلایش Ca-Th حالت فلزی را بطور چشمگیری کاهش می دهد. این نتایج توافق بسیار خوبی با تغییرات مقاومت ویژه الکتریکی در حالت عادی [۶] و توان گرم الکتریسته [۷] دارند.



شکل ۲. وابستگی R_H (۲۷۵ K) به تمرکز آلایش برای $\text{Nd}_{1-x}\text{Ca}_x\text{M}_x\text{Ba}_2\text{Cu}_3\text{O}_{7-\delta}$

سپاسگزاری

از حمایتهای مالی دانشگاه تربیت معلم سبزوار، آژانس تحقیقاتی و تنسکی پرودت (VR) و برنامه اکسید کشور سوئد قدردانی می شود.

مراجع

- [1]- Anderson P.W., The theory of superconductivity in High-T_c Cuprate (Prinston University Press, Prinston, 1977).
[2]- Anderson P.W., Science 235 (1987) 1196; 256 (1992) 1526.
[3]- Lundqvist P., Rapp Ö., Tellgren R., and Bryntes I., Phys. Rev. B 56 (1997) 2824.
[4]- Lundqvist P., Tengroth C., Rapp Ö., Tellgren R., and Hegedüs Z., Physica C 269 (1996) 231.
[5]- Lundqvist P., Rapp Ö., Hartmann O., Karlsson E., and